# Ce<sub>2</sub>O<sub>3</sub> 对 APP-PER-MA 膨胀阻燃体系 热解过程的协效作用

孙才英\* 胡树林 邢海涛 董春梅 展召顺 (东北林业大学化学系,黑龙江省高校阻燃材料分子设计与制备重点实验室 哈尔滨 150040)

摘 要 采用热重分析和红外光谱技术研究了氧化铈( $Ce_2O_3$ )对以聚磷酸铵(APP)为酸源、季戊四醇(PER)为炭源、蜜胺(MA)为气源的经典膨胀型阻燃剂(IFR)热分解性能的影响。结果表明,300~400 ℃时  $Ce_2O_3$ 的存在加快了体系的分解和无机酸的生成速度,改变了 IFR 热解发生的时间,但是并没有从根本上改变热解过程; $Ce_2O_3$ 的添加使 IFR 阻燃剂第一阶段的热解活化能由 65. 73 kJ/mol 提高至 73. 47 kJ/mol,第二、三、四阶段的热解活化能分别由 167. 46、135. 13、141. 34 kJ/mol 降低至 85. 25、96. 08、58. 18 kJ/mol,并对 IFR 分解各阶段残留量有很大影响。

关键词 热解,氧化铈,膨胀型阻燃剂,表观活化能

中图分类号:0631

文献标识码:A

文章编号:1000-0518(2010)10-1172-05

DOI:10.3724/SP. J. 1095.2010.90570

无卤膨胀阻燃体系聚磷酸铵-季戊四醇-蜜胺(APP-PER-MA)因其在凝聚相膨胀成炭,产生隔热、隔质层而起阻燃作用,具有低烟、无毒、无腐蚀性气体释放及无熔融滴落物和高效阻燃的优点。一些金属氧化物对该阻燃体系具有协同作用,如少量的分子筛添加到 APP-PER 膨胀阻燃剂中,可显著提高该体系对一些聚烯烃的阻燃性能 $^{[12]}$ 。张焱等 $^{[3]}$ 发现稀土金属氧化物氧化铕和氧化镱等对聚磷酸铵有协同阻燃效果,可以提高硬质聚氨酯泡沫塑料的阻燃性能。Lewin 等 $^{[4]}$ 研究了不同质量分数的氧化锌对APP-PER-PP 膨胀体系的影响;王增林等 $^{[5]}$ 发现,加入稀土氧化物可以提高 PP 的热稳定性。本文以Ce $_2$ O $_3$ 作为 APP-PER-PP 阻燃体系的协效剂,采用热分析方法计算了 Ce $_2$ O $_3$ -APP-PER-PP 和 APP-PER-PP 体系热解过程的影响,讨论了 Ce $_2$ O $_3$ 与 APP-PER-PP 阻燃体系的协效作用,为分析 Ce $_2$ O $_3$ -IFR 体系阻燃材料的热解行为奠定了理论基础。

## 1 实验部分

#### 1.1 试剂和仪器

聚磷酸铵(APP),n > 5000;季戊四醇(PER)、蜜胺(MA)、氧化铈(Ce,O<sub>3</sub>)均为工业级。

在 SHR 型高速混合机中,将 APP、PER 和 MA 按质量比 3:1:0.4 混合均匀。另加入质量分数 2% 的 Ce<sub>2</sub>O<sub>3</sub>混合均匀。

Nicolet Avatar360 型傅里叶红外光谱仪(美国), KBr 压片; Pyris1 型热重分析仪(美国 PE 公司), 温度范围50~800 ℃, 高纯  $N_2$ 气气氛, 气流速度 50 mL/min。

#### 1.2 表观活化能的计算

利用 Flynn-Wall-Ozawa 方法[6-11],采用 Ozawa 方程,计算试样热解过程的活化能:

$$\lg \beta = \lg \frac{AE}{RG(\alpha)} - 2.315 - 0.4567 \frac{E}{RT}$$

式中, $\beta$  为升温速率( $\mathbb{C}/\min$ ),A 为指前因子, $G(\alpha)$  为动力学函数的积分式,E 为表观活化能(kJ/mol),R 为气体常数,T 为热力学温度(K)。Ozawa 认为不同  $\beta$  下各热谱峰顶温度  $T_p$ 处各  $\alpha$  值近似相等,因此可由  $\log \beta \sim 1/T$  的线性关系确定 E 值。

### 2 结果与讨论

#### 2.1 活化能

图 1 和图 2 分别为 APP-PER-MA 和  $Ce_2O_3$ -APP-PER-MA 的 DTG 曲线。由于阻燃剂热解过程比较复杂,TG 曲线台阶较多,其微分曲线 DTG 谱图的峰数较多,每一个峰位置均代表着一个热解阶段。整体上,IFR 的分解主要分为 4 个阶段<sup>[12]</sup>:1)200~300 ℃间主要是酸源 APP 的分解,释放出能酯化多元醇和可作为脱水剂的无机酸磷酸;2)300~400 ℃间为磷酸与季戊四醇(碳源)进行酯化反应,而体系中的三聚氰胺则作为酯化反应的催化剂;3)400~550 ℃ 间,反应过程中产生的水蒸汽和由气源产生的不燃性气体使已处于熔融状态的体系膨胀发泡。与此同时,多元醇与酯脱水炭化,形成无机物及炭残余物,体系进一步膨胀发泡;4)500~700 ℃间,反应接近完成时,体系胶化和固化,形成多孔泡沫炭层。相应峰顶温度分别标记为  $T_1$ 、 $T_2$  、 $T_3$  和  $T_4$ 。

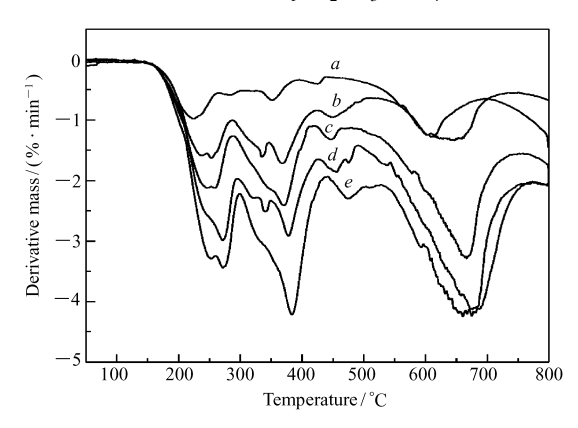


图 1 不同升温速率下 APP-PER-MA 的 DTG 曲线 Fig. 1 DTG curves of APP-PER-MA  $\beta/(^{\circ}C \cdot \min^{-1}) : a.5 ; \ b.10 ; \ c.15 ; \ d.20 ; \ e.25$ 

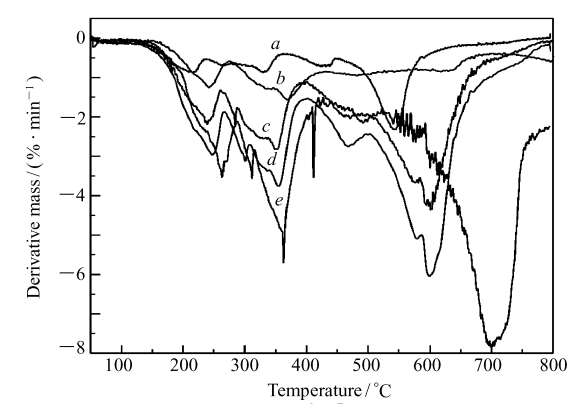


图 2 不同升温速率下  $Ce_2O_3$ -APP-PER-MA 的 DTG 曲线 Fig. 2  $Ce_2O_3$ -APP-PER-MA DTG  $\beta/(^{\circ}C \cdot min^{-1})$ :a.5; b.10; c.15; d.20; e.25

由 lg  $\beta$  ~ 1000/T 曲线,采用 Flynn-Wall-Ozawa 法,计算得到 APP-PER-MA 和 Ce<sub>2</sub>O<sub>3</sub>-APP-PER-MA 样 品 4 个阶段的表观活化能列于表 1。

表 1 APP-PER-MA 及  $Ce_2O_3$ -APP-PER-MA 在不同热解阶段的表观活化能 Table 1 Apparent activation energy of APP-PER-MA and  $Ce_2O_3$ -APP-PER-MA in different stages

	$E_{T_1}/(\mathrm{kJ}\cdot\mathrm{mol}^{-1})$	$E_{T_2}/(\mathrm{kJ} \cdot \mathrm{mol}^{-1})$	$E_{T_3}/(\mathrm{kJ \cdot mol^{-1}})$	$E_{T_4}/(\mathrm{kJ \cdot mol^{-1}})$
APP-PER-MA	65.73	167.46	135.13	141.34
${\rm APP\text{-}PER\text{-}MA\text{-}Ce}_2{\rm O}_3$	73.47	85.25	96.08	58.18
Difference	7.74	-82.21	-39.05	-83.18

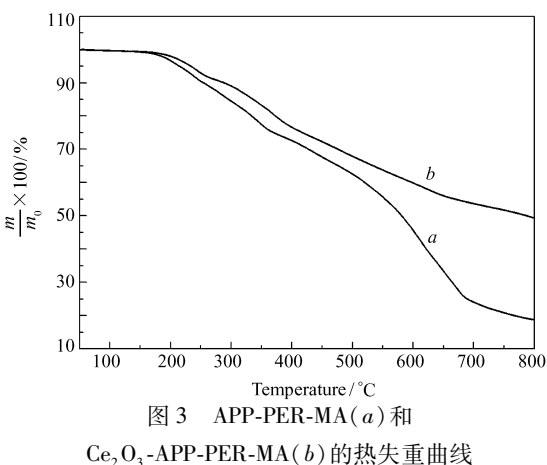
从表 1 可以看到,加入  $Ce_2O_3$ 后,APP-PER-MA 在第 1 分解阶段所需的活化能增加了 7.74 kJ/mol;而其余 3 个阶段的活化能均有大幅度的降低。说明  $Ce_2O_3$ 对 APP-PER-MA 较低温度下分解生成磷酸的反应稍有抑制作用;但是氧化铈能明显地加快磷酸与季戊四醇(碳源)之间的酯化反应,快速产生水蒸汽和不燃性气体,使已处于熔融状态的体系膨胀发泡,加速多孔泡沫炭层的形成,提高了阻燃材料的阻燃性。

#### 2.2 热失重分析

升温速度为 10 °C/min 时,APP-PER-MA 和  $Ce_2O_3$ -APP-PER-MA 的热重曲线见图 3。从图 3 可以看出, $Ce_2O_3$ 的加入明显提高了 APP-PER-MA 各热解阶段的残留量。表 2 中列出了添加  $Ce_2O_3$ 之后 $Ce_2O_3$ -

APP-PER-MA 在不同热解阶段残留量的变化。因为  $Ce_2O_3$ 本身在受热过程中不会分解,假如 $Ce_2O_3$ 的加 人不影响 APP-PER-MA 的热解,那么  $Ce_2O_3$ -APP-PER-MA 的热重图应该是 APP-PER-MA 的残留量与  $Ce_2O_3$ 质量之和,而事实上 $Ce_2O_3$ -APP-PER-MA 的热分解曲线远高于此,说明  $Ce_2O_3$ 的添加对  $Ce_2O_3$ -APP-PER-MA 的热解产生了极大的影响。

从表 2 中可以看到, APP-PER-MA 质量损失 2% 的温度为 190  $^{\circ}$ , 添加  $Ce_2O_3$ 之后提高至200  $^{\circ}$ , 说明  $Ce_2O_3$ 的加入使 APP-PER-MA 的热稳定性稍有增加,但是第一分解阶段的峰顶温度由 254  $^{\circ}$  降低至 242  $^{\circ}$ , 即 APP-PER-MA 形成无机磷酸的时间缩短了,说明  $Ce_2O_3$ 对 APP-PER-MA 无机磷酸的形成有催化作用;而第二分解阶段的峰顶温度没有明显



Ce<sub>2</sub>O<sub>3</sub>-APP-PER-MA(b)的热矢重曲线 Fig. 3 TG curves of APP-PER-MA(a) an

Fig. 3 TG curves of APP-PER-MA(a) and  ${\rm Ce_2O_3\text{-}APP\text{-}PER\text{-}MA}(b)}$ 

的变化,说明  $Ce_2O_3$ 的存在延长了 APP-PER-MA 脱水酯化的时间;第三阶段的峰顶温度由 450  $^{\circ}$  提高至 481  $^{\circ}$  , $Ce_2O_3$ 的加入明显延长了这一阶段的时间;最后阶段的峰顶温度则由 648  $^{\circ}$  C降低至 617  $^{\circ}$  ,加上 第三阶段提高的 31  $^{\circ}$  ,总的结果是降低了 62  $^{\circ}$  。说明  $Ce_2O_3$ 的加入明显地加快了 APP-PER-MA 体系胶 化和固化形成多孔泡沫炭层的过程,表现出  $Ce_2O_3$ 对 APP-PER-MA 热解成炭的协效作用。

表 2 不同热解阶段 APP-PER-MA 和 Ce<sub>2</sub>O<sub>3</sub>-APP-PER-MA 的峰顶温度和残留量 Table 2 Top temperatures and amount of residue of APP-PER-MA and

Ce<sub>2</sub>O<sub>3</sub>-APP-PER-MA at different pyrolysis stages

	${\rm temp.}_2/{}^{\circ}\!{\rm C}$	$temp{50}/^{\circ}\!C$	temp. $_{200}/^{\circ}$ C		$W_{200}/\%$	$temp{300}/^{\circ}\!C$
APP-PER-MA	190	568	2	254	90.6	368
$Ce_2O_3$ -APP-PER-MA	200	789	2	242	93.9	370
Differences	10	221	- 12		3.3	2
	$W_{300}/\%$	$temp{400}/^{\circ}\!$	$W_{400}/\%$	$temp{500}/^{\circ}\!$	$W_{500}/\%$	$W_{700}/\%$
APP-PER-MA	74.5	450	66.2	648	31.7	20.9
$Ce_2O_3$ -APP-PER-MA	80.4	481	69.6	617	58.5	53.8
Differences	5.9	31	3.4	-31	26.8	32.9

temp.  $_2$ : the pyrolysis temperature losing 2% mass; temp.  $_{50}$ : the pyrolysis temperature losing 50% mass; temp.  $_{200}$ , temp.  $_{300}$ , temp.  $_{300}$ , temp.  $_{400}$ , temp.  $_{500}$ : the top temperature in 200 ~ 300, 300 ~ 400, 400 ~ 500, 500 ~ 700 °C stage, respectively;  $W_{200}$ ,  $W_{300}$ ,  $W_{400}$ ,  $W_{500}$ : the amount of residue under maximum mass loss rate in 200 ~ 300, 300 ~ 400, 400 ~ 500, 500 ~ 700 °C stage, respectively;  $W_{700}$ : the amount of residue under 700 °C.

Ce<sub>2</sub>O<sub>3</sub>的加入使 APP-PER-MA 第一分解阶段的残留量  $W_{200}$ 提高了 3. 3%,即 NH<sub>3</sub>和水的释放量稍有降低。由表 1 数据,Ce<sub>2</sub>O<sub>3</sub>降低了 APP-PER-MA 第二分解阶段的活化能,说明酯化反应更容易发生,但是 Ce<sub>2</sub>O<sub>3</sub>-APP-PER-MA 的质量损失失却减少了 5. 9%。这有可能是此时温度较低,酯化生成的水没能全部释放出去,其中一部分水和 Ce<sub>2</sub>O<sub>3</sub>配合形成了水合物。从第二阶段峰顶温度的变化也可看出,添加Ce<sub>2</sub>O<sub>3</sub>之后,第二阶段的热解温度范围扩展了 61 ℃。所延长的时间有可能是酯化释放出来的水没有直接释放,而是和 Ce<sub>2</sub>O<sub>3</sub>进行了配合;或者是由于 Ce<sub>2</sub>O<sub>3</sub>的催化作用与 APP-PER-MA 形成了新的化合物或中间体<sup>[13]</sup>。在第三阶段,添加 Ce<sub>2</sub>O<sub>3</sub>的 APP-PER-MA 的残留量  $W_{400}$ 比纯 APP-PER-MA 的  $W_{400}$ 只增加了 3. 4%,也证实了 Ce<sub>2</sub>O<sub>3</sub>配合形成了水合物,即第二阶段酯化生成的水与 Ce<sub>2</sub>O<sub>3</sub>配合后,在温度较高的第三阶段又释放出去,增加了此阶段的质量损失量。第四阶段体系胶化和固化,最后形成多孔泡沫炭层。纯 APP-PER-MA 在此阶段的残留量较少,只有 31. 7%,而加入 Ce<sub>2</sub>O<sub>3</sub>后 APP-PER-MA 的残留量提高至 58. 5%,说明 APP-PER-MA 在此阶段未完全成炭的有机物仍在继续分解,而添加了 Ce<sub>2</sub>O<sub>3</sub>的 APP-PER-MA 在此阶段成炭已经基本完成,不再分解和释放小分子有机物。APP-PER-MA 质量损失 50% 时的温

度 temp.  $_{50}$ 值为  $568\,^{\circ}$  ,添加  $Ce_2O_3$ 之后增加至  $789\,^{\circ}$  ,此时热解基本结束。再次说明  $Ce_2O_3$ 协效成炭作用非常明显。在  $700\,^{\circ}$ C 时 APP-PER-MA 的残炭量是 20.9% ,而添加  $Ce_2O_3$ 的 APP-PER-MA 则为 53.8% , 进一步证明了这一点。

#### 2.3 热解残留物的红外光谱分析

分别将添加 2%  $Ce_2O_3$ 的 APP-PER-MA 以及 APP-PER-MA 在  $N_2$ 气氛围,以 10 ℃/min 的升温速度分别加热至 300 和 400 ℃,恒温保持 30 min,得到的残留物的傅里叶红外光谱如图 4 和图 5 所示。

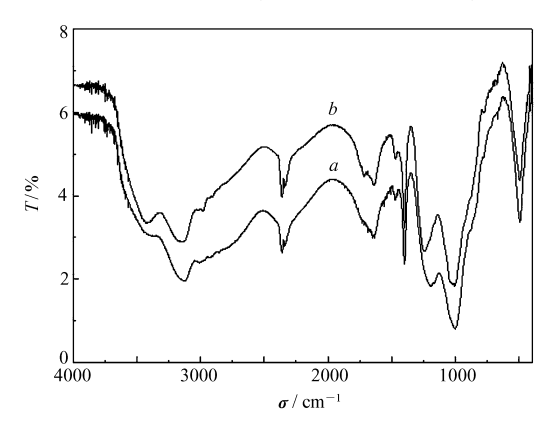


图 4 APP-PER-MA(a)和 Ce<sub>2</sub>O<sub>3</sub>-APP-PER-MA(b) 在 300 ℃时的红外光谱图 Fig. 4 IR spectra of APP-PER-MA(a) and Ce<sub>2</sub>O<sub>3</sub>-APP-PER-MA(b) under 300 ℃

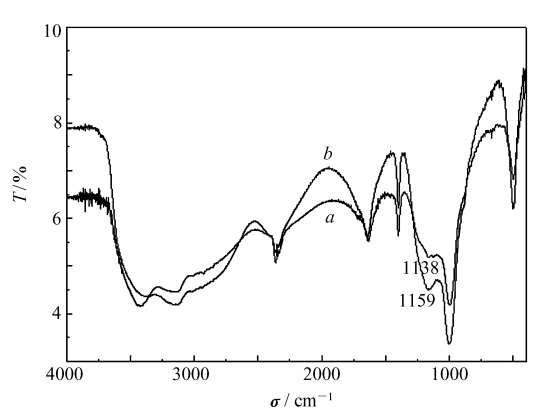


图 5 APP-PER-MA(a)和 Ce<sub>2</sub>O<sub>3</sub>-APP-PER-MA(b) 在 400 ℃时的红外光谱图 Fig. 4 IR spectra of APP-PER-MA(a) and Ce<sub>2</sub>O<sub>3</sub>-APP-PER-MA(b) under 400 ℃

300 ℃时,APP-PER-MA 第一个热分解阶段已经完成。其红外光谱中 3300 cm  $^{-1}$ 处的峰增强而 3100 cm  $^{-1}$ 处的峰减弱了,说明体系中—OH 数增多而 NH $_{+}^{+}$ 的量减少,即 Ce $_{2}$ O $_{3}$ 的存在催化了 APP-PER-MA 分解脱氨的进程;同时添加 Ce $_{2}$ O $_{3}$ 之后,1160 cm  $^{-1}$ 处的峰增强了,说明 P—O 键增多,Ce $_{2}$ O $_{3}$ 可能催化 APP 断键分解并与 PER 结合。400 ℃时,APP-PER-MA 已经完成了第二个阶段的酯化。Ce $_{2}$ O $_{3}$ 使 1138 cm  $^{-1}$ 的 P—O 峰明显加强,且移向较高波数 1159 cm  $^{-1}$ ,说明 Ce $_{2}$ O $_{3}$ 能更有效地催化 IFR-PER 酯化脱氨脱水。Ce $_{2}$ O $_{3}$ 的存在改变了 APP-PER-MA 热解发生的时间,但是并没有改变热解过程。

#### 参考文献

- 1 Bourbigot S, Le Bras M, Delobel R, Bréant P, Tremillon Jean-Michel. Polym Degrad Stab [J], 1996, 54(2-3):275
- 2 WEI Ping(韦平), WANG Jian-Qi(王建祺). High Polym Mater Sci Eng(高分子材料科学与工程)[J],2002,18(5): 123
- 3 ZHANG Yan( 张焱), LV Ben( 吕奔), LIU Zhi-Jiang( 刘志江), LIE Wu( 雷武), XIA Ming-Zhu( 夏明珠), WANG Feng-Yun( 王风云). Liaoning Chem Ind( 辽宁化エ)[J], 2002, 31(8):55
- 4 Lewin M. Polym Adv Technol [J], 2001, 12(3-4):215
- 5 WANG Zeng-Lin(王增林), SUN Wan-Ming(孙万明), TANG Gong-Ben(唐功本). Chinese Rare Earth(稀土)[J], 1994, 15(2):13
- 6 YANG Zheng-Quan(杨正权), HU Rong-Zu(胡荣祖). Comput Appl Chem(计算机与应用化学)[J], 1986, **3**(4):326
- 7 Hu R Z, Yang Z Q, Ling Y J. Thermochim Acta[J], 1988, 123:135
- 8 Doyle C D. J Appl Polym Sci [J], 1961, **5**(15);285
- 9 Ozawa T. Bull Chem Soc Jpn [J], 1965, 38(11):1881
- 10 Flynn J H, Wall L A. J Polym Sci Part B, Polym Lett[J], 1966, 4(3):323
- 11 Kissinger H E. Anal Chem[J], 1957, 29(11):1702
- 12 Camino G, Martinasso G, Costa L. Polym Degrad Stab [J], 1990, 27(3):285

13 YANG Yi(杨毅), LIU Hong-Ying(刘宏英), LI Feng-Sheng(李凤生), ZHANG Xiu-Yan(张秀艳), LIU Jian-Xun(刘建勋). Chinese J Explos Propellants(火炸药学报)[J], 2005, 28(4):76

# Synergistic Effect of Ce<sub>2</sub>O<sub>3</sub> in Ammonium Polyphosphate-Pentaeruthritol-Melamine Intumescent Flame Retardant System

SUN Cai-Ying\*, HU Shu-Lin, XING Hai-Tao, DONG Chun-Mei, ZHAN Zhao-Shun (Heilongjiang Key Laboratory of Molecular Design and Preparation of Flame Retarded Materials, Department of Chemistry, Northeast Forestry University, Harbin 150040)

**Abstract** The synergistic effect of  $Ce_2O_3$  in ammonium polyphosphate-pentaeruthritol-melamine (APP-PER-MA) intumescent flame retardant (IFR) system with ammonium polyphosphate (APP) for acid source, pentaeruthritol (PER) for carbon source and melamine (MA) for gas source was investigated by thermogravimetry analysis (TGA) and Fourier transform infrared spectroscopy (FTIR). It shows that  $Ce_2O_3$  increases the degradation and accelerates the production of inorganic acid during  $300 \sim 400 \, ^{\circ}$ C.  $Ce_2O_3$  changes the degradation time of IFR, however, it does not change the process of the degradation. Apparent activation energy analysis shows that  $Ce_2O_3$  increases the apparent activation energy of IFR in the first decompose stage from 65. 73 kJ/mol to 73. 47 kJ/mol, and reduces it in the second, third and fourth stages from 167. 46, 135. 13 and 141. 34 kJ/mol to 85. 25, 96. 08 and 58. 18 kJ/mol, respectively. TGA shows that there is a great effect to the residue of IFR in every decompose stage when  $Ce_2O_3$  is added.

Keywords thermal-degradation, Ce2O3, apparent activation energy, intumescent flame retardant